

بررسی تظاهر پروتئین bcl-2 و آنتی ژن ki-67 به روش ایمونوهیستوشیمیایی و وقوع آپوپتوز به روش TUNEL در ادنتوزنیک کراتوسیست در مقایسه با آملوبلاستوما

دکتر سید محمد رضوی^۱، دکتر سید حسین طباطبایی اردکانی*

چکیده

مقدمه: ادنتوزنیک کراتوسیست (OKC)، یک کیست تکاملی ادنتوزنیک با ماهیت تهاجمی و عود زیاد است. هدف از این پژوهش، ارزیابی ایمونوهیستوشیمیایی تظاهر پروتئین bcl-2 به عنوان شاخص مهار آپوپتوز و آنتی ژن ki-67 به عنوان شاخص پرولیفراسیون سلولی و نیز بررسی آپوپتوز با استفاده از روش TUNEL در OKC در مقایسه با آملوبلاستوما، به منظور شناخت بهتر و توجیه رفتار OKC بود.

مواد و روش‌ها: در این پژوهش مقطعی، تحلیلی و گذشته‌نگر، ۱۶ نمونه ادنتوزنیک کراتوسیست (OKC) و ۱۶ نمونه آملوبلاستومای توپر (SAB)، که با فرمالین ثابت و در پارافین مدفون شده بود، از نظر بروز پروتئین bcl-2 و آنتی ژن ki-67 با استفاده از رنگ‌آمیزی ایمونوهیستوشیمیایی و روش استاندارد بیوتین-استرپتاویدین استفاده شد. سلول‌های آپوپتوتیک با روش TUNEL (TDT-Mediated DUTP-biotin nick end labeling) مورد شناسایی قرار گرفت. یافته‌ها توسط نرم‌افزار SPSS_{۱۱/۵} و آزمون‌های آماری Paired t-test و Independent تجزیه و تحلیل قرار شد.

یافته‌ها: نسبت سلول‌های bcl-2 مثبت در لایه بازال OKC ($97/69 \pm 1/2$ درصد) به طور معنی‌داری ($p \text{ value} < 0/001$) بیش از لایه محیطی SAB ($53/01 \pm 18/57$ درصد) بود. سلول‌های ki-67 مثبت به طور معنی‌داری ($p \text{ value} = 0/021$) در لایه سوپرابازال OKC ($13/59 \pm 7/47$ درصد) بیش از سایر لایه‌های آن و نیز بیش از لایه محیطی SAB ($6/94 \pm 7/38$ درصد) بود. هر چند نسبت سلول‌های ki-67 مثبت در OKC ($6/42 \pm 2/9$ درصد) بیش از SAB ($4/98 \pm 3/43$ درصد) بود ولی این تفاوت از نظر آماری معنی‌دار نبود ($p \text{ value} = 0/211$). سلول‌های TUNEL مثبت به طور معنی‌داری ($p \text{ value} < 0/001$) در لایه سطحی OKC ($7/69 \pm 2/6$ درصد) بیش از لایه داخلی SAB ($1/95 \pm 0/38$ درصد) بود.

نتیجه‌گیری: احتمال می‌رود ماهیت تهاجمی و عود زیاد OKC بر خلاف SAB، به جای آن که مربوط به بقای سلولی افزایش یافته در لایه محیطی SAB باشد، به دلیل فعالیت پرولیفراتیو بسیار در لایه سوپرابازال آن است. البته آپوپتوز بیشتر در لایه سطحی OKC، در مقایسه با لایه داخلی آملوبلاستوما، این فعالیت پرولیفراتیو را جبران می‌کند؛ در نتیجه همواره ضخامت یکنواخت اپی‌تلیوم کیست حفظ شده، بر خلاف SAB توده تومورال توپر تشکیل نمی‌شود.

کلید واژه‌ها: ایمونوهیستوشیمی، روش TUNEL، پروتئین bcl-2، آنتی ژن ki-67، ادنتوزنیک کراتوسیست، آملوبلاستومای توپر.

* استادیار، گروه آسیب‌شناسی دهان و فک و صورت، دانشکده دندان‌پزشکی، دانشگاه علوم پزشکی یزد، یزد، ایران. (مؤلف مسؤول)
taba48971@gmail.com

۱: دانشیار، گروه آسیب‌شناسی دهان، فک و صورت، دانشکده دندان‌پزشکی، دانشگاه علوم پزشکی اصفهان، اصفهان، ایران.

این مقاله در تاریخ ۸۸/۳/۱۰ به دفتر مجله رسیده، در تاریخ ۸۸/۵/۲۵ اصلاح شده و در تاریخ ۸۸/۶/۳ تأیید گردیده است.

مجله دانشکده دندان‌پزشکی اصفهان
۱۳۸۸: ۳(۵)، ۱۳۹ تا ۱۴۷

مقدمه

ادنتوزنیک کراتوسیست (OKC)، یک نوع کیست تکاملی ادنتوزنیک است که از بقایای دنتال لامینای جنینی فانکشنال منشأ می‌گیرد و از نظر شیوع سومین کیست شایع فکی محسوب می‌شود [۱-۴].

مکانیسم رشدی OKC با کیست‌های ادنتوزنیک شایع‌تری مانند کیست دانتی ژور و کیست رادیکولار، که در اثر افزایش فشار اسموتیک محتویات لومن به صورت غیر فعال رشد می‌کنند، متفاوت است [۵]. بسیاری از پژوهشگران به واسطه رفتار بیولوژیک تهاجمی و نیز بر اساس شواهد مولکولی و ژنتیکی، از طبیعت نئوپلاستیک این کیست حمایت نموده‌اند [۵]. از طرفی، آمولوبلاستوما به عنوان شایع‌ترین تومور ادنتوزنیک اپی‌تلیالی که به احتمال قوی از دنتال لامینا منشأ می‌گیرد، به طرز مشابهی دارای ویژگی‌های عود و تهاجم موضعی به داخل استخوان مجاور می‌باشد [۳]. به علاوه سال‌هاست که رفتار تهاجمی OKC، با وجود ظاهر هیستولوژیک آرامی که دارد [۴]، مورد بررسی پژوهشگران می‌باشد و پژوهش‌هایی از این دست بر سه موضوع اصلی شامل پرولیفراسیون سلولی، آپوپتوز یا مرگ برنامه‌ریزی شده سلولی و فرار از آپوپتوز و بقای سلولی [۶-۱۳] متمرکز بوده است.

Ki-67 یک آنتی ژن هسته‌ای ۳۹۵ کیلو دالتونی است که در مراحل G_2 و M چرخه سلولی بروز آن به حداکثر می‌رسد و پس از میتوز کاهش می‌یابد [۱۴]. در رابطه با فعالیت تکثیر اپی‌تلیوم پوشاننده OKC، پژوهش‌هایی در مورد ki-67 انجام گرفته و نتیجه‌گیری شده است که این آنتی ژن در OKC در مقایسه با سایر کیست‌های ادنتوزنیک به میزان خیلی بیشتری بروز می‌یابد [۶-۱۱]. ژن bcl-2 یک پروتئین ۲۶ کیلو دالتونی را رمزگذاری می‌کند که می‌تواند مسیر آپوپتوز را تنظیم کند. bcl-2 با افزایش عمر سلول‌های اپی‌تلیالی که دارای پتانسیل تمایز هستند موجب پرولیفراسیون، تمایز و در نهایت مورفوژنیز می‌شود [۱۵]. فعالیت پروتئین bcl-2 در جوانه‌های دندانی، آمولوبلاستوما، OKC و کیست‌های دانتی ژور و همچنین در برخی تومورها به اثبات رسیده است. از طرفی بررسی‌های اندکی در رابطه با مشاهده سلول‌های آپوپتوتیک TUNEL مثبت در اپی‌تلیوم

OKC [۱۶] و نیز آمولوبلاستوما [۱۰] انجام شده است.

هدف از این پژوهش، یافتن پاسخی به این سؤال بود که چرا با وجودی که OKC نیز مانند آمولوبلاستوما رفتاری تهاجمی دارد، ولی بر خلاف نوع توپر (Solid) آن یک توده تومورال تشکیل نمی‌دهد، بلکه همواره ضخامت یکنواخت اپی‌تلیوم آن حفظ می‌شود و به صورت یک ضایعه کیستی تظاهر می‌یابد. بدین منظور برخی وقایع سلول همچون پرولیفراسیون سلولی، آپوپتوز و فرار از آپوپتوز در اپی‌تلیوم OKC در مقایسه با نمونه‌های آمولوبلاستوما مورد بررسی قرار گرفت. علت انتخاب آمولوبلاستوما Solid در کنار OKC این بود که اولاً هر دو ضایعه از بقایای دنتال لامینا منشأ می‌گیرند [۳-۱] و ثانیاً OKC بر خلاف سایر کیست‌های شایع ادنتوزنیک، رفتاری تهاجمی همچون آمولوبلاستوما از خود نشان می‌دهد [۳] ولی در عین حال بر خلاف نوع Solid آن یک توده تشکیل نمی‌دهد.

مواد و روش‌ها

در این پژوهش مقطعی، تحلیلی و گذشته‌نگر که در سال ۱۳۸۷ در دانشکده دندان پزشکی اصفهان انجام شد، از بین نمونه‌های OKC موجود در بایگانی بخش پاتولوژی دانشکده دندان پزشکی اصفهان، ۱۶ عدد OKC ساده (غیر عود کننده) و غیر وابسته به سندرم Nevoid Basal cell carcinoma (NBCC) به روش نمونه‌گیری قضاوتی (Judgmental) انتخاب شدند. نمونه‌ها التهاب کمتر از متوسط (کمتر از ۱۵ لنفوسیت در یک فیلد با بزرگ‌نمایی $\times 400$) [۹] داشتند. همچنین از میان ۱۸ نمونه تهیه شده از آرشیو بخش پاتولوژی دانشکده دندان پزشکی اصفهان و بیمارستان کاشانی دانشگاه علوم پزشکی اصفهان و نیز بخش پاتولوژی دانشکده دندان پزشکی شهید صدوقی یزد در حد فاصل سال‌های ۸۵-۱۳۷۵، ۱۶ مورد آمولوبلاستوما نوع Solid صرف نظر از زیر گروه هیستوپاتولوژیک به روش نمونه‌گیری آسان انتخاب شدند. کلیه نمونه‌ها توسط دو پاتولوژیست دهان مورد بررسی و تأیید مجدد قرار گرفتند. نمونه‌های OKC با التهاب بیش از متوسط و دارای طول نامناسب و همچنین نمونه‌های آمولوبلاستوما با بافت اندک و نامناسب حذف شدند. از بلوک‌های مناسب حاوی حداکثر طول اپی‌تلیوم پوشاننده OKC و نیز بیشترین

رنگ آمیزی شده با روش ایمونوهیستوشیمیایی و TUNEL توسط هماتوکسین رنگ آمیزی زمینه‌ای شده، در نهایت نمونه‌ها پس از آگیری با الکل و شفاف سازی با گزلیول روی لام مانده شدند. در همه مراحل از کنترل منفی و مثبت برای اطمینان از صحت تکنیک رنگ آمیزی استفاده شد.

در رنگ آمیزی IHC جهت کنترل منفی، لام‌هایی با حذف مرحله آنتی‌بادی ثانویه تهیه شد. برای کنترل مثبت در مورد نشانگر ki-67 از یک نمونه کانسر پستان و در مورد نشانگر bcl-2 از یک نمونه لنفوما استفاده شد. از سلول‌های التهابی ارتشاح یافته در نمونه‌ها به عنوان کنترل مثبت داخلی استفاده شد.

در روش TUNEL جهت کنترل منفی از بافت طبیعی ریه موش با حذف کاربرد آنتی بادی Anti-Brdu استفاده شد. به منظور کنترل مثبت از بافت طبیعی ریه موش با کاربرد همه مراحل استفاده شد. این بافت حاوی تعداد اندکی سلول‌های آپوپتوتیک است که با DAB مثبت می‌شوند.

روش بررسی: به منظور کاهش خطاهای شمارش، ارزیابی نمونه‌ها توسط دو مشاهده‌گر به صورت جداگانه و Blind توسط میکروسکوپ نوری Olympus (Tokyo, Japan) انجام گرفت. بدین منظور ابتدا نواحی رنگ گرفته با بزرگ‌نمایی ۴۰ برابر مشخص شدند. آن گاه جهت بررسی کیست‌ها، پوشش اپی‌تلیالی OKC به سه ناحیه (لایه) تقسیم شد: ۱- لایه بازال شامل یک ردیف سلول‌های مکعبی تا استوانه‌ای واقع بر غشای پایه. ۲- لایه سوپرابازال شامل دو تا سه ردیف سلول‌های مکعبی تا چند وجهی بالاتر از لایه بازال. ۳- لایه سطحی شامل یک تا سه ردیف سلول‌های مسطح یا چند وجهی واقع در زیر سطح اپی‌تلیوم در مجاورت لومن (شکل ۱).

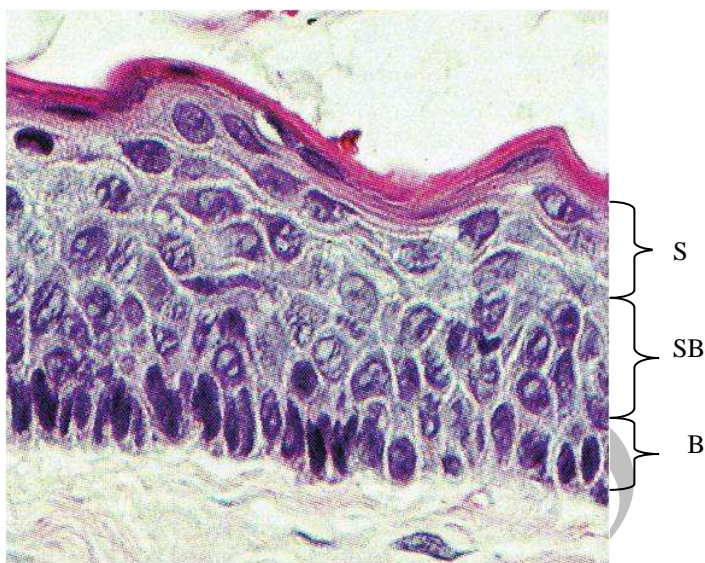
در مورد نمونه‌های آملوبلاستوما، سلول‌های اپی‌تلیالی به دو گروه تقسیم شدند: ۱- سلول‌های لایه محیطی (PL) شامل یک ردیف سلول‌های بازال مکعبی تا استوانه‌ای مستقر بر روی غشای پایه ۲- سلول‌های مرکزی یا لایه داخلی (IL) شامل سلول‌های شبیه رتیکولوم ستاره‌ای و کانون‌های اسکواموس یا سلول‌های گرانولر (در صورت وجود) محصور در لایه داخلی (شکل ۲).

مناسب‌ترین بافت از نمونه‌های آملوبلاستوما انتخاب شده، برش‌های ۴ میکرونی تهیه گردید. در این پژوهش، فرآیند پرولیفراسیون سلولی با استفاده از آنتی‌بادی مونوکلونال ki-67 و فرایند فرار از آپوپتوز با استفاده از آنتی‌بادی مونوکلونال bcl-2 (هر دو با روش ایمونوهیستوشیمیایی-IHC) بررسی شد. همچنین وقوع آپوپتوز با روش TUNEL بررسی گردید. هر سه این فرایندها (پرولیفراسیون سلولی، فرار از آپوپتوز و آپوپتوز) از نظر محل و شدت بروز در اپی‌تلیوم OKC با آملوبلاستومای توپر (Solid) مورد مقایسه قرار گرفت.

روش ایمونوهیستوشیمیایی (IHC): ابتدا برش‌های مذکور پارافین زدایی و رطوبت گیری شد و سپس به منظور تثبیت آنتی‌ژنی، اسلایدها به مدت ۱۰ دقیقه در محلول بافر سیترات با pH = ۶ در میکروویو قرار گرفت. پس از شستشو با PBS (Phosphate Buffered salin)، اسلایدها جهت بررسی بروز آنتی‌ژن ki-67 به مدت یک ساعت با آنتی‌بادی مونوکلونال Zymed ki-67 Mouse (clone MMI) با رقت ۱/۱۰۰ انکوبه شدند.

همچنین جهت بررسی بروز پروتئین bcl-2، اسلایدها در مجاورت آنتی‌بادی مونوکلونال Zymed bcl-2 (clone:124) Mouse با رقت ۱/۵ به مدت یک ساعت انکوبه شدند. پس از شستشو با محلول PBS، اسلایدها به مدت ۵ دقیقه در محلول Zymed streptavidin (RES/cat.No.98-9643-2) به مدت ۱۰ دقیقه انکوبه شدند. در مرحله بعد اسلایدها جهت ایجاد یک محصول واکنشی قهوه‌ای رنگ در ماده کروموژن 3,3 Diamino benzodine hydrochloride (DAB) مجاور شدند.

روش TUNEL (Tdt-mediated dUTP-biotin nick end labeling): جهت بررسی آپوپتوز با روش TUNEL، از Insitu apoptosis detection kit استفاده شد. این روش بر مبنای افزودن DUTP (Deoxy uridine triphosphate) نشان‌دار شده با biotin به انتهای 3'-OH قطعات شکسته شده DNA در سلول‌های آپوپتوتیک با استفاده از TDT (Terminal deoxynucleotidyl transferase) پایه گذاری شده است [۱۶]. پس از انجام مراحل مختلف، نمونه‌های



شکل ۱. لایه‌های مختلف مورد بررسی در اپی‌تلیوم OKC
S = surface layer, SB = Suprabasal layer, B = basal layer



شکل ۲. لایه‌های مختلف مورد بررسی در آملوبلاستومای توپیر.
PL = peripheral layer, IL = Inner layer

قهوه‌ای رنگ در زمینه‌ای از سیتوپلاسم بی‌رنگ [۸] به عنوان سلول‌های مثبت در نظر گرفته شدند. جهت بررسی ایمونوری اکتیویته bcl-2، سلول‌هایی با سیتوپلاسم قهوه‌ای و برای بررسی سلول‌های آپوپتوتیک، سلول‌های با دانه‌های قهوه‌ای رنگ در هسته [۱۰] (صرف نظر از شدت رنگ پذیری [۸]) به

از ویژگی‌های پژوهش حاضر، حذف فاکتور التهاب به عنوان یک عامل مداخله‌گر در بروز آنتی ژن ki-67 و نیز تظاهر پروتئین bcl-2 [۱۲] در کیست‌های مورد بررسی می‌باشد. جهت بررسی ایمونوری اکتیویته ki-67، هسته‌های

یافته‌ها

نمونه‌های مورد بررسی شامل ۱۶ نمونه OKC با التهاب کمتر از متوسط و ۱۶ نمونه آمولوبلاستومای داخل استخوانی توپر (Solid) شامل ۸ نمونه فولیکولار، یک نمونه پلکسی فرم و ۴ نمونه آکانتوماتوز بود، هر چند بررسی‌های بعدی صرف نظر از زیر گروه هیستوپاتولوژیک انجام شد.

کل اطلاعات توصیفی به همراه نتایج معنی‌دار و غیر معنی‌دار به تفکیک در جدول ۱ آمده است.

یافته‌های مربوط به بروز bcl-2 در OKC: بیشترین میانگین bcl-2 در لایه بازال به میزان $1/2 \pm 97/69$ درصد و در لایه سوپرابازال تنها به میزان $4/82 \pm 8/09$ درصد بود. در لایه سطحی هیچ تظاهری دیده نشد. این اختلافات معنی‌دار بود ($p \text{ value} < 0/001$)؛ (جدول ۱، شکل ۳).

یافته‌های مربوط به بروز bcl-2 در آمولوبلاستوما: بیشترین میزان bcl-2-LI ($18/57 \pm 53/01$ درصد) در لایه محیطی بود. بروز bcl-2 در لایه مرکزی به میزان کمتری بود ($18/57 \pm 38/46$ درصد) دیده شد و این اختلاف معنی‌دار بود ($p \text{ value} = 0/014$)؛ (جدول ۱، شکل ۴).

عنوان سلول‌های مثبت در نظر گرفته شدند. آن گاه در هر یک از لایه‌های مذکور در بزرگ‌نمایی ۴۰۰ برابر، ۱۰۰۰ سلول اپی‌تلیالی در حدود ۱۰ فیلد تصادفی مورد شمارش قرار گرفتند. در مورد سلول‌های آپوپتوتیک، به دلیل تعداد کم سلول‌های مثبت، ۱۵۰۰ سلول در حدود ۱۵ فیلد تصادفی شمارش شد. در نهایت برای هر مارکر، یافته‌ها به شکل کمی با استفاده از فرمول زیر تحت عنوان (LI) Labeling Index ثبت شد.

تعداد سلول‌های مثبت صرف نظر از شدت رنگ پذیری $LI =$

$1000 \times$ سلول اپی‌تلیالی

با توجه به بالا بودن ضریب همبستگی (بیش از ۰/۹۵) دو مشاهده‌گر در تشخیص رنگ پذیری نمونه‌ها، میانگین مقادیر LI تعیین شده توسط هر دو مشاهده‌گر در لایه‌های مختلف نمونه‌های مورد بررسی محاسبه شد و سپس توسط نرم‌افزار SPSS_{۱۱/۵} و آزمون‌های آماری Paired t-test و t-test مستقل و Repeated measures ANOVA و Kolmogrov-Smirnov test مورد بررسی و مقایسه قرار گرفت. نتایج در سطح $\alpha = 0/05$ معنی‌دار در نظر گرفته شد.

جدول ۱. مقادیر میانگین \pm انحراف معیار پروتئین BCL-2 و آنتی ژن Ki-67 به روش TUNEL در ادنتوژنیک

کراتوسیست و آمولوبلاستوما

TUNEL	ki-67	bcl-2	ضایعه لایه LI (%)
$0/59 \pm 0/36$	$4/09 \pm 2/1$	$97/69 \pm 1/2$	BL
$0/75 \pm 0/49$	$13/59 \pm 7/47$	$8/09 \pm 4/82$	SBL
$7/69 \pm 2/62$	$1/59 \pm 1/71$.	SL
$3/01 \pm 1/01$	$6/42 \pm 2/9$	$35/26 \pm 1/15$	در مجموع
$0/06 \pm 0/012$	$7/38 \pm 6/94$	$53/01 \pm 18/57$	PL
$1/95 \pm 0/38$	$2/58 \pm 0/88$	$38/64 \pm 10/66$	IL
$1 \pm 0/2$	$4/98 \pm 3/43$	$45/82 \pm 11/03$	در مجموع

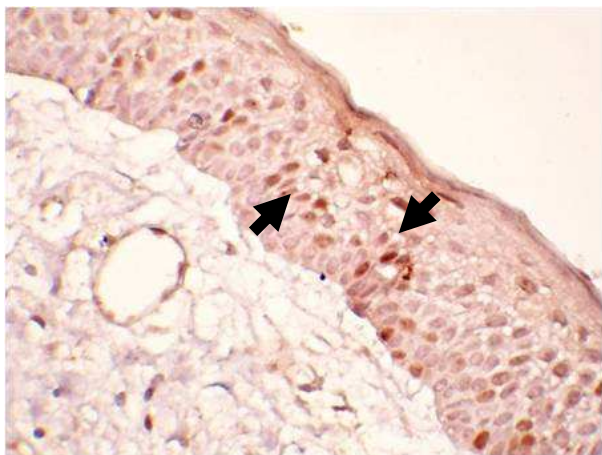
علامت (|) نشانه معنی‌داری تفاوت بین لایه‌های مقایسه شده و علامت (|) عدم وجود تفاوت معنی‌دار بین لایه‌های مقایسه شده است.

BL: Basal layer
PL: Peripheral layer

SBL: Supra basal layer
IL: Inner layer

SL: Surface layer

۶/۹۴ ± ۷/۳۸ درصد) بود ولی این تفاوت معنی‌دار از نظر آماری نبود (p value = ۰/۰۸) که احتمال دارد به دلیل بالاتر بودن انحراف معیار داده‌های حاصل به ویژه در نمونه‌های آملوبلاستوما باشد.

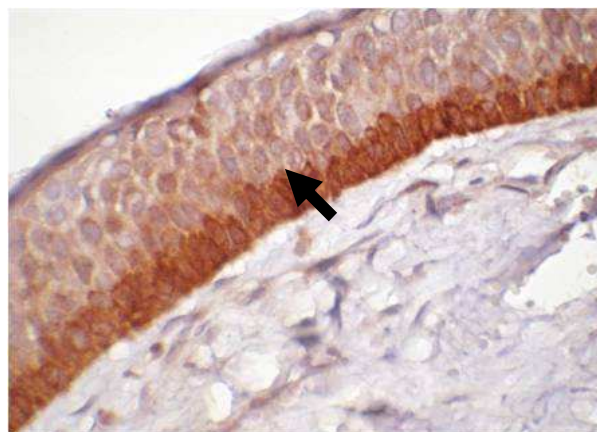


شکل ۴. توزیع سلول‌های ki-67 مثبت. پیکان در OKC (رنگ‌آمیزی ایمونوهیستوشیمیایی بزرگ‌نمایی ×۴۰)

یافته‌های مربوط به روش TUNEL در OKC: بیشترین میانگین TUNEL-LI در لایه سطحی OKC با مقدار ۲/۶۲ ± ۷/۶۹ درصد به طور معنی‌داری (p value < ۰/۰۰۱) بیش از مقادیر قابل چشم‌پوشی در لایه‌های سوپرابازال و بازال بود (جدول ۱، شکل ۵).

یافته‌های مربوط به روش TUNEL در SAB: بیشترین میانگین TUNEL-LI در لایه داخلی SAB (۰/۳۸ ± ۱/۹۵ درصد) به طور معنی‌داری (p value < ۰/۰۰۱) بیش از مقادیر قابل چشم‌پوشی در لایه محیطی بود (جدول ۱).

یافته‌های مربوط به مقایسه سلول‌های TUNEL مثبت بین OKC و SAB: به طور کلی میانگین TUNEL-LI در لایه سطحی OKC با متوسط ۲/۶ ± ۷/۶۹ درصد به طور معنی‌داری (p value < ۰/۰۰۱) بیش از لایه داخلی SAB با مقدار ۰/۳۸ ± ۱/۹۵ درصد بود و به طور کلی میانگین TUNEL-LI در OKC با مقدار ۱/۰۱ ± ۳/۰۱ درصد) به طور معنی‌داری (p value < ۰/۰۱) بیش از SAB با مقدار ۰/۰۲ ± ۱ درصد بود (جدول ۱).



شکل ۳. توزیع سلول‌های bcl-2 مثبت در OKC (رنگ‌آمیزی ایمونوهیستوشیمیایی بزرگ‌نمایی ×۴۰) (به رنگ پذیری شدید لایه بازال توجه شود، پیکان)

یافته‌های مربوط به مقایسه bcl-2-LI بین OKC و AB: میانگین bcl-2-LI در لایه بازال OKC (۱/۱۲ ± ۹۷/۶۹ درصد) به طور معنی‌داری (p value < ۰/۰۰۱) بیش از لایه محیطی SAB (۱۸/۵۷ ± ۵۳/۰۱ درصد) بود. با این حال میانگین bcl-2-LI در OKC (۱/۷۵ ± ۳۵/۲۶ درصد) به طور معنی‌داری (p value = ۰/۰۰۲) کمتر از SAB (۱۱/۰۳ ± ۴۵/۸۲ درصد) بود (جدول ۱).

یافته‌های مربوط به بروز ki-67 در OKC: در OKC بیشترین میزان ki-67-LI در لایه سوپرابازال (SB) (۷/۴۷ ± ۱۳/۵۹ درصد) دیده شد که به طور معنی‌داری (p value < ۰/۰۰۱) بیش از لایه بازال (۲/۱ ± ۴/۰۹ درصد) و لایه سطحی (۱/۷۱ ± ۱/۵۹ درصد) بود. به طور کلی ۷۰ درصد از سلول‌های در حال پرولیفراسیون (ki-67 مثبت) در لایه سوپرابازال قرار داشتند (شکل ۴ و جدول ۱).

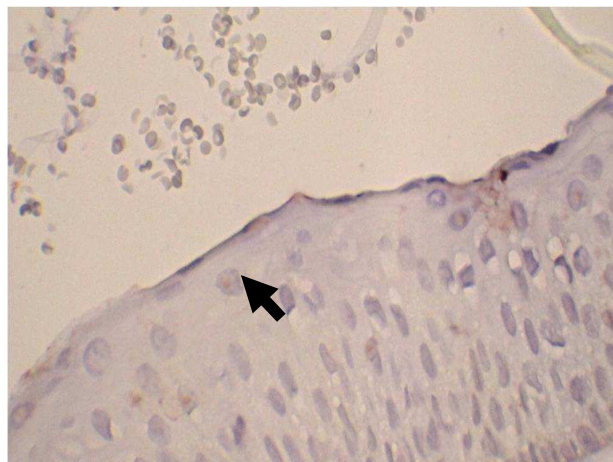
یافته‌های مربوط به بروز ki-67 در SAB: میانگین ki-67-LI در لایه محیطی SAB (۶/۹۷ ± ۷/۳۸ درصد) به طور معنی‌داری (p value = ۰/۰۰۱۷) بیش از لایه داخلی SAB (۰/۰۸۸ ± ۲/۵۸ درصد) بود (جدول ۱).

یافته‌های مربوط به مقایسه ki-67-LI بین OKC و SAB: هر چند میانگین ki-67-LI در لایه بازال OKC (۲/۰۱ ± ۴/۰۹ درصد) کمتر از لایه محیطی SAB برابر با

آملوبلاستوما در همخوانی با پژوهش Sandra و همکاران [۸] نشان داد که میانگین Ki-67-LI در لایه محیطی (PL) به طور معنی داری بیش از لایه داخلی (IL) بود. به عبارت دیگر، همان گونه که انتظار می رود ممانعت از آپوپتوز در این ناحیه به طور غیر مستقیم به افزایش تکثیر سلولی منجر می شود.

اما در مورد OKC، بر خلاف آملوبلاستوما بیشترین پرولیفراسیون سلولی در جایی که بیشترین تظاهر bcl-2 رخ داده است (لایه بازال) دیده نشد؛ بلکه پرولیفراسیون سلولی در لایه سوپرابازال OKC به طور معنی داری بیش از سایر لایه های آن بود. این یافته ها با نتایج پژوهش های Li و همکاران [۲۰] و Kichi و همکاران [۱۶] همخوانی دارد. به عبارتی می توان نتیجه گرفت که زیاده تر بودن پرولیفراسیون در لایه سوپرابازال OKC در مقایسه با لایه محیطی آملوبلاستوما، ناشی از کاهش مرگ و افزایش بقای سلولی نیست، بلکه ممکن است فرآیندهای غیر طبیعی دیگری در رابطه با کنترل چرخه سلولی مسؤول آن باشند. گرچه در این پژوهش نیز همانند پژوهش Sloodweg و همکاران [۲۱]، در کل میانگین Ki-67-LI در OKC بیش از آملوبلاستوما بود، ولی این تفاوت از نظر آماری معنی دار نبود. به عبارت دیگر، در کل این دو ضایعه فعالیت پرولیفراتیو مشابهی دارند. این مسأله ممکن است تا حدودی توجیه کننده رفتار تهاجمی OKC همانند آملوبلاستوما باشد.

بررسی یافته های مربوط به وقوع آپوپتوز در OKC نشان داد که در لایه سطحی، یعنی جایی که هیچ تظاهری از bcl-2 دیده نمی شود، بیشترین میزان آپوپتوز و در لایه بازال که بیشترین بروز bcl-2 دیده می شود کمترین مقدار آن رخ می دهد. یافته های این پژوهش از نظر طرح بروز سلول های آپوپتوتیک با پژوهش Kichi و همکاران [۱۶] همخوانی دارد. در واقع سلول های لایه بازال OKC در طی مراحل نهایی تمایز خود کراتینیزه شده، وقتی به سطح می رسند طی فرآیند آپوپتوز پوسته پوسته می شوند و در داخل لومن تجمع می یابند. یافته های پژوهش حاضر در مورد وقوع آپوپتوز در نمونه های آملوبلاستوما نشان داد که بیشترین میزان TUNEL-LI در بخش های داخلی جزایر و طناب های آملوبلاستومایی بود. از سویی وقوع آپوپتوز در سلول های لایه



شکل ۵. توزیع سلول های TUNEL مثبت پیکان در OKC (رنگ آمیزی ایمونوهیستوشیمیایی بزرگ نمایی ×۴۰)

بحث

در این پژوهش، نمونه های OKC مورد بررسی التهاب کمتر از متوسط (کمتر از ۱۵ لنفوسیت در بزرگ نمایی ×۴۰) داشتند. این ویژگی از تغییر غیر واقعی ایمونوری اکتیویته bcl-2 و ki-67 در اثر التهاب جلوگیری می کند [۹]. آملوبلاستوما Solid به این دلیل در این پژوهش مورد استفاده قرار گرفت که با وجود داشتن برخی ویژگی های رفتاری مشابه مانند تهاجم موضعی و عود زیاد [۸]، بر خلاف OKC به صورت یک توده توپر ظاهر می شود [۳]. پروتئین bcl-2 محصول ژن bcl-2، اثر ضد آپوپتوزی دارد و بنابراین تظاهر بیش از حد آن ممکن است با ممانعت از آپوپتوز و افزایش بقای سلولی به ایجاد تومور منجر شود [۱۷].

بر اساس یافته های پژوهش حاضر و همانند نتایج پژوهش های Kummamoto و همکاران [۱۵] و Lou و همکاران [۱۰]، فرار از آپوپتوز در سلول های لایه محیطی آملوبلاستوما به طور معنی داری بیش از سلول های لایه مرکزی آن رخ می دهد. همچنین بیشترین میانگین bcl-2-LI، که نشان دهنده فرار از آپوپتوز می باشد، به طور معنی داری در لایه بازال OKC مشاهده شد. این یافته ها با نتایج پژوهش های Piattelli [۱۸]، جهانشاهی و همکاران [۱۹] و Kichi و همکاران [۱۵] همخوانی دارد. از طرفی یافته های مربوط به تظاهر آنتی ژن Ki-67 در

که آپوتوز یک فرایند دینامیک است، همه روش‌های استاتیک مورد استفاده برای اندازه‌گیری آن دچار اشکالاتی هستند

نتیجه‌گیری

به نظر می‌رسد که مکانیسم‌های تعادلی برای حفظ تعداد سلول‌ها در آملوبلاستوما، هم در لایه محیطی و هم در بخش داخلی، مختل می‌شود و در نتیجه یک توده تومورال تشکیل می‌شود؛ در حالی که در OKC تعادلی که بین پرولیفراسیون سلولی و آپوتوز وجود دارد، سبب حفظ ضخامت اپی‌تلیوم کیست می‌شود.

محیطی قابل چشم پوشی بود و این اختلاف از نظر آماری معنی‌دار بود. این یافته‌ها با پژوهش Kumamoto و همکاران [۱۵] همخوانی دارد.

مقایسه وقوع فرآیند آپوتوز در OKC و آملوبلاستوما نشان داد که بیشترین میزان آپوتوز در OKC در لایه محیطی و در آملوبلاستوما در لایه داخلی دیده می‌شود و این مقادیر در OKC به طور معنی‌داری بیش از آملوبلاستوما بود.

به طور کلی در پژوهش حاضر بر خلاف پژوهش‌های Kichi و همکاران [۱۶] و Kumamoto و همکاران [۱۵] تعداد سلول‌های آپوتوتیک کمتری مشاهده شد. احتمال دارد از آن جا

References

1. Agaram NP, Collins BM, Barnes L, Lomago D, Aldeeb D, Swalsky P, et al. Molecular analysis to demonstrate that odontogenic keratocysts are neoplastic. *Arch Pathol Lab Med* 2004; 128(3): 313-7.
2. Regezi JA, Sciubba JJ, Jordan RCK. *Oral pathology: clinical pathologic correlations*. 4th ed. Philadelphia: W.B. Saunders; 2003. p. 245-88.
3. Neville B, Damm D, Allen C, Bouquot JE: *oral and maxillofacial Pathology*. 2nd ed. Philadelphia: W.B. Saunders; 2009. p. 683-708.
4. Henley J, Summerlin DJ, Tomich C, Zhang S, Cheng L. Molecular evidence supporting the neoplastic nature of odontogenic keratocyst: a laser capture microdissection study of 15 cases. *Histopathology* 2005; 47(6): 582-6.
5. Shear M. The aggressive nature of the odontogenic keratocyst: is it a benign cystic neoplasm? Part 1. Clinical and early experimental evidence of aggressive behaviour. *Oral Oncology* 2001; 38(3): 219-26.
6. Baghae F, Eslami M, Sadri D. Evaluation of Ki-67 Antigen and Protein P53 Expression in Orthokratized and Parakratized Odontogenic Keratocyst. *Journal of Dentistry of Tehran University of Medical Sciences* 2004; 1(2): 53-8.
7. Shear M. The aggressive nature of the odontogenic keratocyst: is it a benign cystic neoplasm? Part 2. Proliferation and genetic studies. *Oral Oncology* 2004; 38(4): 323-31.
8. Sandra F, Mitsuyasu T, Nakamura N, Shiratsuchi Y, Ohishi M. Immunohistochemical evaluation of PCNA and Ki-67 in ameloblastoma. *Oral Oncol* 2001; 37(2): 193-8.
9. Kaplan I, Hirschberg A. The correlation between epithelial cell proliferation and inflammation in odontogenic keratocyst. *Oral Oncol* 2004; 40(10): 985-91.
10. Luo HY, Yu SF, Li TJ. Differential expression of apoptosis-related proteins in various cellular components of ameloblastomas. *Int J Oral Maxillofac Surg* 2006; 35(8): 750-5.
11. Li TJ, Browne RM, Matthews JB. Epithelial cell proliferation in odontogenic keratocysts: a comparative immunocytochemical study of Ki67 in simple, recurrent and basal cell naevus syndrome (BCNS)-associated lesions. *J Oral Pathol Med* 1995; 24(5): 221-6.
12. de Paula AM, Carvalhais JN, Domingues MG, Barreto DC, Mesquita RA. Cell proliferation markers in the odontogenic keratocyst: effect of inflammation. *J Oral Pathol Med* 2000; 29(10): 477-82.
13. Kumamoto H. Molecular pathology of odontogenic tumors. *J Oral Pathol Med* 2006; 35(2): 65-74.
14. Kim DK, Ahn SG, Kim J, Yoon JH. Comparative Ki-67 expression and apoptosis in the odontogenic keratocyst associated with or without an impacted tooth in addition to unilocular and multilocular varieties. *Yonsei Med J* 2003; 44(5): 841-6.
15. Kumamoto H. Detection of apoptosis-related factors and apoptotic cells in ameloblastomas: analysis by immunohistochemistry and an in situ DNA nick end-labelling method. *J Oral Pathol Med* 1997; 26(9): 419-25.
16. Kichi E, Enokiya Y, Muramatsu T, Hashimoto S, Inoue T, Abiko Y, et al. Cell proliferation, apoptosis and apoptosis-related factors in odontogenic keratocysts and in dentigerous cysts. *J Oral Pathol Med* 2005; 34(5): 280-6.
17. Nussbaum RL, McInnes KK, Willard HF, Thompson MW. *Thompson and Thompson genetics in medicine: genetics and cancer*. 6th ed. Philadelphia: W.B. Saunders; 2001. p. 311-33.

18. Piattelli A, Fioroni M, Rubini C. Differentiation of odontogenic keratocysts from other odontogenic cysts by the expression of bcl-2 immunoreactivity. *Oral Oncol* 1998; 34(5): 404-7.
19. Jahanshahi Gh, Talebi A, Shirvani A. Expression of bcl-2 in the Epithelial lining of odontogenic keratocysts. *Journal of Dentistry, Tehran university of medical sciences* 2006; 3(1): 30-5.
20. Li TJ, Browne RM, Matthews JB. Quantification of PCNA+ cells within odontogenic jaw cyst epithelium. *J Oral Pathol Med* 1994; 23(4): 184-9.
21. Slootweg PJ. p53 protein and Ki-67 reactivity in epithelial odontogenic lesions. An immunohistochemical study. *J Oral Pathol Med* 1995; 24(9): 393-7.

Archive of SID